

# 軸方向力を考慮した連続円弧アーチの弾塑性解析

九州大学 正員 山崎徳也

学生員○石川信隆

1. 緒言 鋼構造物の弾塑性挙動を解明せんがため、最近各方面で数多くの実験または理論的研究が活発に行われているが、著者らもまたエネルギー的観点からこれを理論的に究明すべく一連の研究を行なってきた。すなわちその一研究として昨年の本大会で弾塑性領域を包含したうえで曲げと軸力を同時に考慮した補正エネルギー式<sup>(1)(2)</sup>を導き、これを用いて固定円弧アーチの弾塑性挙動を厳密に考察した。本研究はさらに円弧アーチに対する軸力をも考慮した弾塑性たわみ角式<sup>(3)</sup>を誘導提示し、もって矩形断面をもつ連続鋼円弧アーチの弾塑性解析と弾塑性解析における変形法に準じて行ないうごとくしたもので、その演算手法は数値積分に基づく繰り返し計算により未知の変形量を求めるとするものである。

## 2. 円弧アーチに対する弾塑性たわみ角式の誘導

いま矩形等断面アーチを取り扱うものとすれば、弾塑性領域を包含し曲げと軸力を考慮した補正エネルギーは次式で与えられる。<sup>(2)</sup>

$$U = \int_{E+P_1+P_2} U_E ds + \int_{P_1} (U_{P_1} - U_E) ds + \int_{P_2} (U_{P_2} - U_E) ds \dots (1)$$

ここに  $U_E$ ,  $U_{P_1}$ ,  $U_{P_2}$  はそれぞれ単位長さ当たりの弾性、 $\#1$ および $\#2$ 弾塑性領域における補正エネルギーで次のとく示され、また積分記号の添字  $E$ ,  $P_1$ ,  $P_2$  はそれぞれ弾性、 $\#1$ および $\#2$ 弾塑性領域の弦軸方向の長さを示す。すなわち

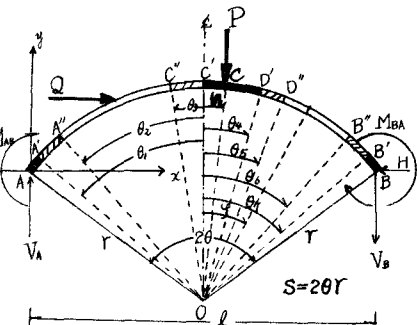


図-1

$$U_E = \frac{M_y^2}{2EI} (m^2 + 3n^2), \quad U_{P_1} = \frac{M_y^2}{2EI} \left[ \frac{3(1-n)^2}{3(1-n)-lm} + 3(2m-1) \right], \quad U_{P_2} = \frac{M_y^2}{2EI} (3 - 2\sqrt{3 - 3m^2 - 2lm})$$

$$m = M/M_y, \quad n = N/N_y, \quad M_y, \text{曲げモーメント}, \quad N_y, \text{軸力のみによる全断面降伏力}$$

### (1) 弾塑性領域が生ずる場合

図-1のごとく円弧アーチ部材ABを考え、両端A, Bおよび途中のC点近傍にそれぞれA'A'', C'C', D'D'', B''B'およびAA', C'D', B'B'の $\#1$ および $\#2$ 弾塑性領域が生ずるものとすれば、部材ABに貢献される補正エネルギーは式(1)より次式となる。

$$U = \int_{-\theta_1}^{\theta_2} U_E r d\varphi + \int_{P_1} (U_{P_1} - U_E) r d\varphi + \int_{P_2} (U_{P_2} - U_E) r d\varphi \dots (2)$$

たゞし  $P_1$  は図-1より  $-\theta_1 \sim -\theta_2$ ,  $-\theta_3 \sim 0$ ,  $\theta_4 \sim \theta_5$ ,  $\theta_6 \sim \theta_7$ , また  $P_2$  は  $-\theta \sim \theta_1$ ,  $0 \sim \theta_4$ ,  $\theta_7 \sim \theta$  の積分範囲を示す。

一方任意の曲げモーメント  $M$  および軸力  $N$  は図-1を参照して次式のごとく表わされる。

$$M/M_y = m = (1-x)M_{AB}/l - xM_{BA}/l - K H \cdot y/l + M_0, \quad N/N_y = n = H \cos \varphi - V \sin \varphi + N_0 \dots (3)$$

$$\text{ただし } M_{AB} = M_{AB}/M_y, \quad M_{BA} = M_{BA}/M_y, \quad H = H/N_y, \quad V = V/N_y, \quad K = N_y l / M_y$$

また  $M_0$  および  $N_0$  は部材ABを单纯アーチばかりと見做したときの荷重による曲げモーメントおよび軸力をそれぞれ  $M_y$  および  $N_y$  で割った値を示す。

式(2)に式(3)を代入したうえで変分原理を適用すれば両端A, Bにおける切線角  $\alpha_A$ ,  $\alpha_B$  および部材伸縮率  $\epsilon$  がそれそれ求められ、積分演算は式(2)の1項の弾性項のみを行なって結局次式となる。

$$\left. \begin{aligned} T_A &= \frac{\partial U}{\partial M_{AB}} = (a_1 M_{AB} + b_1 M_{BA} + c_1 H + L_1 + D_1 + E_1) \frac{My}{EI} \\ T_B &= \frac{\partial U}{\partial M_{BA}} = (a_2 M_{AB} + b_2 M_{BA} + c_2 H + L_2 + D_2 + E_2) \frac{My}{EI} \\ \Delta l &= \frac{\partial U}{\partial H} = (a_3 M_{AB} + b_3 M_{BA} + c_3 H + L_3 + D_3 + E_3) \frac{My \cdot l}{EI} \end{aligned} \right\} \quad (4)$$

ここに係数  $a_1, b_1, \dots, c_3$  および  $L_1, L_2, L_3$  は軸力を考慮した弾塑性たわみ角式の係数および荷重項の1種に一致し、さらに弾塑性項の1種である  $D_1, D_2, \dots, E_3$  はそれぞれ表-1に示すとおり値となる。

表-1

$a_1$	$(2\theta + 6\cos^2\theta - \cot\theta)/4 + 3(\theta - \sin\theta\cos\theta)/K^2$	$a_2$	$= b_1$	$a_3$	$= c_1/K$
$b_1$	$(-2\theta + \theta \cos^2\theta - \cot\theta)/4 + 3(\theta - \sin\theta\cos\theta)/K^2$	$b_2$	$= a_1$	$b_3$	$= c_1/K$
$c_1$	$K(\theta \cos\theta - \sin\theta)/2\sin\theta$	$c_2$	$= -c_1$	$c_3$	$K^2(\theta - 3\sin\theta\cos\theta + 2\theta\cos^2\theta)/K + 3(\theta + \sin\theta\cos\theta)/K$
$L_1$	$\int_0^\theta m_o(l-x)/l + 3n_o \sin\theta/K \, d\theta$	$L_2$	$\int_0^\theta m_o(-x/l) + 3n_o \sin\theta/K \, d\theta$	$L_3$	$\int_0^\theta m_o(-y/l) + 3n_o \cos\theta/K \, d\theta$
$D_1$	$\int_{p_1} \{m_p(l-x)/l + n_{p1} \sin\theta/K\} \, d\theta$	$D_2$	$\int_{p_1} \{m_p(-x/l) + n_{p1} \sin\theta/K\} \, d\theta$	$D_3$	$\int_{p_1} \{m_p(-y/l) + n_{p1} \cos\theta/K\} \, d\theta$
$E_1$	$\int_{q_1} \{m_q(l-x)/l + n_{q1} \sin\theta/K\} \, d\theta$	$E_2$	$\int_{q_1} \{m_q(-x/l) + n_{q1} \sin\theta/K\} \, d\theta$	$E_3$	$\int_{q_1} \{m_q(-y/l) + n_{q1} \cos\theta/K\} \, d\theta$
$\text{ただし } m_{p1} = 4(1-n)/[3(1-n)- m ]^2 -  m , \quad m_{q1} = \sqrt{3-3n^2-2 m } -  m $					
$m_{p1} = 12(1-n)^2(2n-2 m )/[3(1-n)- m ]^2 + 3(1-n), \quad n_{p1} = 3n(\sqrt{3-3n^2-2 m }-1)$					

式(4)に  $T_A = \theta A - R, T_B = \theta B - R$ , 式(1)より  $R = (J/S)/(I_o/S_o)$ ,  $\phi_A = 2EI_o \theta_A / M_{pA} S_o$ ,  $\phi_B = 2EI_o \theta_B / M_{pB} S_o$ ,  $\psi = -6EI_o R / M_{pA} S_o$ ,  $\Delta l = 2EI_o \Delta l / M_{pA} S_o l$  の置換 ( $S_o$  は標準長) を行なったのち,  $D_1, D_2, \dots, E_3$  が弾塑性項に比べ微小なことに着目して左辺に移項し,  $M_{AB}, M_{BA}, H$  について連立に解けば, 所要の軸力を考慮した弾塑性たわみ角式がえられ, 次式のようになる。

$$\left. \begin{aligned} M_{AB} &= R (\alpha_{AB} \phi_A + \beta_{AB} \phi_B + \gamma_{AB} \psi_{AB} - \delta_{AB} \Delta l) + C_{AB} + D_{AB} + E_{AB} \\ M_{BA} &= R (\beta_{AB} \phi_A + \delta_{AB} \phi_B + \gamma_{AB} \psi_{AB} + \epsilon_{AB} \Delta l) + C_{BA} + D_{BA} + E_{BA} \\ H &= R \{ (\phi_B - \phi_A) \delta_{AB}/K + \lambda_{AB} \Delta l \} + N_{AB} + F_{AB} + G_{AB} \end{aligned} \right\} \quad (5)$$

ここに係数  $\alpha_{AB}, \beta_{AB}, \dots, \lambda_{AB}$  および 荷重項  $C_{AB}, C_{BA}, N_{AB}$  さらに 弹塑性項  $D_{AB}, E_{AB}, \dots, G_{AB}$  はそれぞれ次式より求められる。

係数:  $\alpha_{AB} = \theta(a, c_3 - c_1^2/K)/d, \quad \beta_{AB} = -\theta(b, c_3 + g^2/K)/d, \quad \gamma_{AB} = \theta(c_3(a_1 - b_1) - 2g^2/K)$

$\delta_{AB} = \theta(c, (a + b_1)/3d), \quad \lambda_{AB} = \theta(a^2 - b_1^2)/d, \quad d = c_3(a_1^2 - b_1^2) - 2c_1^2(a_1 + b_1)/K$

荷重項:  $C_{AB} = -(L_1 d_{AB} + L_2 \beta_{AB} - L_3 \delta_{AB})/d, \quad C_{BA} = -(L_1 \beta_{AB} + L_2 d_{AB} + L_3 \delta_{AB})/d$

$N_{AB} = \{ (L_1 - L_2) \delta_{AB}/K - L_3 \lambda_{AB} \}/d$

弾塑性項:  $D_{AB} = -(D_1 d_{AB} + D_2 \beta_{AB} - D_3 \delta_{AB})/d, \quad D_{BA} = -(D_1 \beta_{AB} + D_2 d_{AB} + D_3 \delta_{AB})/d, \quad f_{AB} = \{(D_1 - D_2) \delta_{AB}/K - D_3 \lambda_{AB}\}/d$

$E_{AB} = -(E_1 d_{AB} + E_2 \beta_{AB} - E_3 \delta_{AB})/d, \quad E_{BA} = -(E_1 \beta_{AB} + E_2 d_{AB} + E_3 \delta_{AB})/d, \quad G_{AB} = \{(E_1 - E_2) \delta_{AB}/K - E_3 \lambda_{AB}\}/d$

## (2) 弹塑性領域に引き続き塑性ヒンジが生ずる場合

図-2(a) に示すごとく A 端近傍の弾塑性領域に引き続き, 同端に塑性ヒンジが形成されるものとすれば, 完全塑性条件より  $|M_{AB}| = M_{pA} = 1.5 \times (1 - n_A^2)$  が成立し, A 端は一定の塑性曲げモーメント  $M_{pA}$  のもとに回転街を生じ, 式(5)は次式のごとく変形される。

$$|M_{AB}| = M_{pA} = 1.5(1 - n_A^2), \quad n_A = N_A/N_y, \quad M_{pA}: A 端の塑性曲げモーメント$$

$$M_{BA} = R (\bar{\alpha}_{AB} \phi_B + \bar{\beta}_{AB} \psi_{AB} + \bar{\delta}_{AB} \Delta l) + \bar{C}_{BA} + \bar{D}_{BA} + \bar{E}_{BA} + \bar{\beta}_{AB} M_{pA}$$

図-2(a) A 端塑性ヒンジ

図-2

(6a)

$$H = \rho [ \delta_{AB} \{ (1 + \bar{\beta}_{AB}) \phi_B + \gamma_{AB} \psi_{AB} / \alpha_{AB} \} / K ] + \bar{\lambda}_{AB} \Delta l + \bar{N}_{AB} + \bar{F}_{AB} + \bar{G}_{AB} - \delta_{AB} m_{PA} / \alpha_{AB} K ]$$

ここで

$$\begin{aligned} \bar{\alpha}_{AB} &= \alpha_{AB} - \bar{\beta}_{AB} \beta_{AB}, \quad \bar{\beta}_{AB} = \beta_{AB} / \alpha_{AB}, \quad \bar{\gamma}_{AB} = \gamma_{AB} - \bar{\beta}_{AB} \bar{\gamma}_{AB}, \quad \bar{\delta}_{AB} = \delta_{AB} + \delta_{AB} \bar{\gamma}_{AB}, \quad \bar{C}_{AB} = C_{BA} - \bar{\beta}_{AB} C_{AB}, \\ \bar{D}_{BA} &= D_{BA} - \bar{\beta}_{AB} D_{AB}, \quad \bar{E}_{BA} = E_{BA} - \bar{\beta}_{AB} E_{AB}, \quad \bar{N}_{AB} = N_{AB} + \delta_{AB} C_{AB} / \alpha_{AB} K, \quad \bar{\lambda}_{AB} = 1 - \delta_{AB} / \alpha_{AB} K, \\ \bar{F}_{AB} &= F_{AB} + \delta_{AB} D_{AB} / \alpha_{AB} K, \quad \bar{G}_{AB} = G_{AB} + \delta_{AB} E_{AB} / \alpha_{AB} K \end{aligned}$$

図-2(b)のごとく、B端にのみ塑性ヒンジが形成される場合は式(6a)と同様に誘導され次式となる。

$$\begin{aligned} M_{AB} &= \rho [ (\bar{D}_{AB} \phi_A + \bar{\gamma}_{AB} \psi_{AB} - \bar{\delta}_{AB} \Delta l) + \bar{C}_{AB} + \bar{D}_{AB} + \bar{E}_{AB} + \bar{\delta}_{AB} m_{PB} ] \\ (m_{BA}) &= m_{PB} = 1/5 (1 - n_B^2), \quad n_B = N_B / V_B, \quad m_{FB} : B\text{端の塑性モーメント} \\ H &= \rho [ -\delta_{AB} \{ (1 + \bar{\beta}_{AB}) \phi_B + \gamma_{AB} \psi_{AB} \} / K + \bar{\lambda}_{AB} \Delta l ] \\ &\quad + \bar{N}_{AB} + \bar{F}_{AB} + \bar{G}_{AB} + \delta_{AB} m_{PB} / \alpha_{AB} K \end{aligned} \quad (6b)$$

$$\Rightarrow \bar{C}_{AB} = C_{AB} - \bar{\beta}_{AB} C_{BA}, \quad \bar{D}_{AB} = D_{AB} - \bar{\beta}_{AB} D_{BA}, \quad \bar{E}_{AB} = E_{AB} - \bar{\beta}_{AB} E_{BA},$$

$$\bar{N}_{AB} = N_{AB} - \delta_{AB} C_{BA} / \alpha_{AB} K, \quad \bar{F}_{AB} = F_{AB} - \delta_{AB} D_{BA} / \alpha_{AB} K$$

$$\bar{G}_{AB} = G_{AB} - \delta_{AB} E_{BA} / \alpha_{AB} K$$

さらに図-2(c)のごとく部材の途中仕切点Cにのみ塑性ヒンジが形成される場合はC点のたわみ角が不連続となるため、部材ABを部材ACと部材BCに分割したうえでそれそれに式(6b)および式(6a)を適用してこれを解決する手法となる。

### 3. 連続円弧アーチの弾塑性解析

連続アーチの弾塑性解析を行なうには、以上導いたたわみ角式 $\theta$ を用いて節点の回転角および変位を未知数として節束方程式、せん断力の釣合式およびスパン方程式などを用いて解くいわゆる往來の変形法を用うることに帰着する。さらに弾塑性領域 $\Omega_j$ を示す $\theta_j$  ( $j = 1, 2, \dots$ )などの未知数に対しては弾塑性境界条件式 $\Omega_j^{(j)}$  (例えば図-1における弾塑性部分の先端A'点、A'点の作用モーメント $M_{AA'}$ 、部材の初期降伏曲げモーメント $M_{AA'}$ および式(2)弾塑性領域との境界を示す臨界曲げモーメント $M_{AA'}$ に等しいべき条件より次式 $\Omega_j^{(j)}$ が成立し、結局未知数と同数の条件式 $\Omega_j^{(j)}$ を用うことになるか、その算法は繰り返し試算となる。

すなはち弾塑性境界条件式は式(3)を併用して次のとく表わされる。

$$\begin{aligned} m_{IA'} &= 1 - n_{y-\theta_2} = \frac{m_{AB}}{2} \left( 1 - \frac{\sin \theta_2}{\sin \theta} \right) + \frac{m_{BA}}{2} \left( 1 + \frac{\sin \theta_2}{\sin \theta} \right) - H \cdot \frac{K}{2 \sin \theta} (\cos \theta_2 - \cos \theta) + m_0(\theta_2) \\ m_{IA'} &= 1 + n_{y-\theta_1} - 2m_{y-\theta_1}^2 = \frac{m_{AB}}{2} \left( 1 - \frac{\sin \theta_1}{\sin \theta} \right) + \frac{m_{BA}}{2} \left( 1 + \frac{\sin \theta_1}{\sin \theta} \right) - H \cdot \frac{K}{2 \sin \theta} (\cos \theta_1 - \cos \theta) + m_0(\theta_1) \end{aligned} \quad (7)$$

### 4. 計算例

図-3に示す2スパン連続アーチ(半周角 $\theta = 60^\circ$ 、断面高さ-スパン比 $r/l = 0.05$ )の左スパンABの中央部に単一集中荷重Pが作用し、D点近傍に弾塑性領域が生ずるときの弾塑性応力状態を求めれば以下のごとくである。

まず端モーメント式 $m_{AB}$ は次のとく列記される。

$$m_{AB} = \beta_{AB} \phi_B + C_{BA} + D_{AB} + E_{AB},$$

$$m_{BA} = \alpha_{AB} \phi_B + C_{BA} + D_{BA} + E_{BA},$$

$$m_{BC} = d_{BC} \phi_B$$

$$m_{CB} = \beta_{CB} \phi_B$$

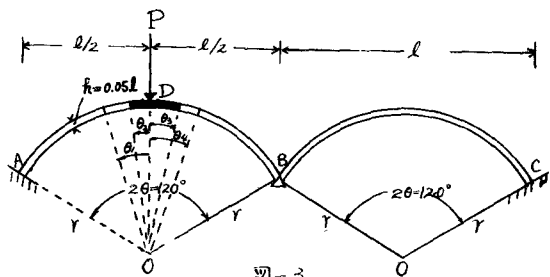


図-3

また節点Bでの静定方程式は

$$M_{BA} + M_{BC} = 0 \quad \dots (9)$$

式(8)の式2, 式3式を式(9)に代入して未知数中Bにつれて解けば初期次値をうる。

$$\phi_B = - \frac{C_{BA} + D_{BA} + E_{BA}}{\alpha_{BC} + \alpha_{AB}} \dots (10)$$

よって所要の端モーメント式は式(10)を式(8)の式3式の右辺に代入して求められるが、式(10)の演算は  $D_{BA}$ ,

$E_{BA}$  にも未知数中Bを含みやう、当初  $D_{BA} = E_{BA} =$

$D_{AB} = E_{AB} = 0$  すなわち弾性時の中Bを0次近似値として用い、これと式(8)を式(7)に代入して弾塑性領域の境界を示す未知数  $\theta_j$  ( $j = 1, 2, \dots$ ) を求めたうえで  $D_{BA}, E_{BA}$  中の  $D_1, \dots, E_3$  (表-1参照) を Simpson 公式による数値積分を用いて試算で算出することとなる。

いま  $P = 0.15 N_y > P_c$  (初期降伏荷重) が作用する場合を例にとれば、各端モーメント値および  $\theta_j$  ( $j = 1, 2, \dots$ ) 値が表-2のごとく算出され、M-図およびN-図は図-4(a)および(b)のごとくなる。

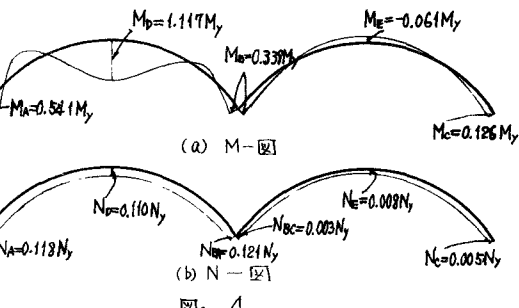


図-4

表-2

	$M_A = M_W/M_y$	$M_B = M_M/M_y$	$M_C = M_C/M_y$	$M_D = M_D/M_y$	$M_E = M_E/M_y$	$\theta_1$	$\theta_2$	$\theta_3$	$\theta_4$
第0次近似値	0.528	0.324	0.121	1.127	0.056	0.1963	0.0831	0.0944	0.2031
第1次近似値	0.546	0.342	0.128	1.115	0.064	0.1537	0.0542	0.0778	0.1848
第2次近似値	0.539	0.338	0.125	1.118	0.060	0.1647	0.0634	0.0693	0.1955
第3次近似値	0.541	0.339	0.126	1.117	0.061	0.1643	0.0629	0.0687	0.1934

## 5. 結語

本研究によって連続円弧アーチならびに円弧アーチをもつラーメンの弾塑性挙動が軸力をも考慮して厳密に解明されることになるが、本研究の結果明らかにされたことは、まず式(5)のためみ角式の説導に際し、弾塑性項の1種である式(4)の  $D_1, D_2, \dots, E_3$  をそれ弾性項に比し微小と見做して定数項のことく取り扱ったゆえ、純局説導された式(5)の弾塑性項  $D_{AB}, D_{BA}, \dots, G_{AB}$  がそれ弾性時の端モーメントを繰り返し試算により補正する操作のみとなつた。次に本法と既往の曲げモーメントのみを考慮した弾塑性ためみ角式による解法との比較検討が可能となって軸力の諸力および変形に及ぼす影響が明らかとなり、これについては後日報告する予定である。

本研究は文部省科学研究費の補助を受けた、記して謝意を表す。

## 参考文献

- 1) 梅村他：水平力を受けるラーメンの弾塑性(その1)基礎実験、日本建築学会論文報告集、第61号、昭和36年10月
- 2) 古本・官村：鋼構造物の弾・塑性域における変形と安定性に関する考察(その1報、その2報、その3報)，日本建築学会論文報告集、第110号、第113号、第116号、昭和40年4月、7月、10月
- 3) 山崎・石川：弾塑性解析に用いる変形法の基本式の説明について、昭和40年土木学会全国研究発表会論文集
- 4) 山崎・石川・黒木：エネルギー法による固定アーチの弾塑性解析、同上
- 5) 山崎・石川：連続アーチの弾塑性解析、昭和49年次学術講演会講演会論文集、昭和39年5月